

天津市区城市热岛温度场的特征 和红外遥感技术的应用*

孙奕敏 李 橙 解以杨

(天津市气象科学研究所)

郭之怀 李乃煌 王国华

(中国科学院遥感应用研究所)

研究城市热岛效应，对大气湍流、扩散、大气污染预报^[1]，大气环境质量评价和防治，城市气候，对城市规划和保护环境都有重要意义。过去人们只是利用气象台站等单点所观测到的风、温等气象资料来研究热岛效应^[2]，因此，在空间分布的研究上受到一定限制。

1980年我们在天津渤海地区环境遥感试验期间，用飞机上的红外扫描仪，对天津市郊下垫面拍摄的大量彩色红外热图象，结合气象资料和其他遥感资料进行城市环境热效应研究的。现报告如下。

一、城市下垫面热量平衡方程和城市热岛成因

目前研究城市热岛的形成，主要采用热量平衡的方法。地表面热量平衡公式可写成^[3]：

$$\begin{aligned} I + H - R + G - \varepsilon\sigma IT^4 &= \pm RN \\ &= \pm B \pm LE \pm A \pm P \pm N \pm HE \pm V \end{aligned} \quad (1)$$

(1)式中 I ——太阳直接短波辐射，
 H ——天空散射短波辐射， R ——地面反射短波辐射， G ——大气长波辐射， $\varepsilon\sigma T^4$ ——地表长波辐射， RN ——总辐射， B ——建筑、道路、土壤等热量输送， LE ——潜热输送， V ——地面和大气之间的显热输

送， A ——平流热输送， P ——植物光合作用和呼吸的热输送， N ——降水产生的热输送， HE ——人工产生的热。

要正确地观测和估算式中所有参数，目前仍有一定困难。但对于城市内外的日射差异^[4]，建筑物、马路和土壤的热量输送，人工产生的热量等项已有一些学者进行了专门研究。我们主要利用红外遥感技术所测得的城郊地表温度的分布、实测飘尘资料、地表有效辐射项计算、总辐射观测和市区人工热量计算等资料，探讨城市热岛的形成和其本质。下面对热量平衡方程式中的有关项进行讨论。

(一) 巨大的太阳辐射能和遥感地面辐射温度值的可靠性。

首先测知1980年太阳辐射(采暖季是6.85千卡/厘米²月，非采暖季是9.82千卡/厘米²月)，用来分析气温与地面辐射温度的关系。设云量 $n=0$ ，气温与地面辐射温度相差不大时，采用布伦特(Bnmt)公式，给出地面有效辐射为：

$$F = \sigma T^4 (1 - a - b\sqrt{e}) \quad (2)$$

式中 σT^4 为地面辐射通量。 $F' = (a + b\sqrt{e})\sigma T^4$ 是大气逆辐射，由斯蒂芬—波

* 参加本课题工作的还有王长友、张惠民、陈炎源、刘学军、相超武等同志

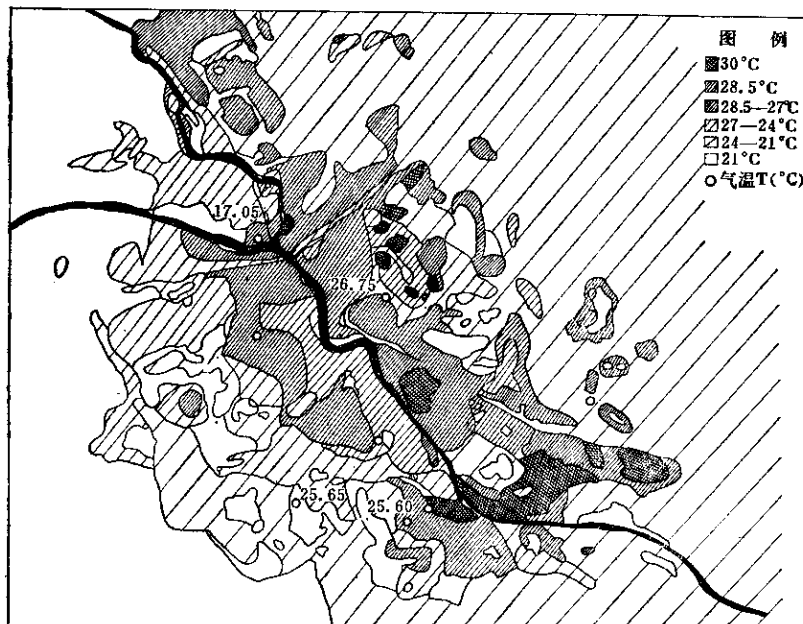


图 1 1980年9月6日17:04—18:34红外遥感天津市区地表辐射温度场

尔兹曼定律，大气逆辐射可表示为 $F' = \varepsilon\sigma T^4$ 。由上两式可得：

$$T_a = \left[-\frac{1}{\varepsilon} \left(a + b \sqrt{e} \right) \right]^{\frac{1}{4}} T \quad (3)$$

(3) 式中 T_a 为大气绝对温度， T 为地面辐射温度； $a = 0.52$ ， $b = 0.06$ ， e 为水汽压（毫巴），水汽压 $e \propto T$ ； ε 为大气发射率，若大气稳定，辐射温度高的地表上面的气温亦高。由此根据热图象的辐射温度差异，就得到气温值。

据1980年9月6日17:04—18:34热图象（图一）所示的地表辐射温度：市区公路30—33°C，植被21—23°C，农田15—21°C，水面21—23°C。地表平均辐射温度为：市中心约27°C，郊区约19°C。市郊平均辐射温度相差约8°C。取 $\varepsilon = 0.95$ （地物发射率≈1），市郊区水汽压均取12.7毫巴，利用(2)式估算市郊区气温差约为7°C。

根据1980年9月6日17:04—18:34市区5个气象点同步观测的资料，平均气温为23.4°C，与这时遥感热图象所示的地表辐射温度相比，市中心地表辐射温度比气温高

3°C左右。

再根据1983年1月在市区内对各种地表（柏油、水泥、土壤和水面）温度的观测，和它们上面的气温昼夜变化规律分析（图2），日落前的气温都低于柏油、水泥、土壤的表面温度约3~6°C。而不少微气象学家认为，贴地面附近能存在很大的温度梯度^[5] ($> 6^{\circ}\text{C 厘米}^{-1}$)。所以根据以上分析，可

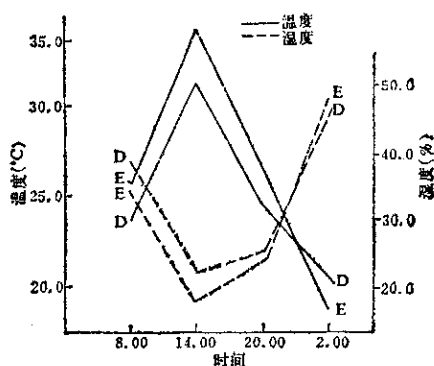


图 2 1983年1月22—23日天津市区各种地表温度和其气温的昼夜变化

* 应注意， F' 是从零到无穷大的波长区间上积分结果。而辐射计并非对所有波长都灵敏。

说明遥感热图象所表示的地表温度值是可靠的。进而得出：凭借遥感热图象，结合气象、土壤等资料，利用热量平衡方程，是能够直接揭示“城市热岛”特征和其形成的本质。

(二) 人工热是生成城市热岛的重要因素

1. 市区热源强分布

城市下垫面的热源除主要来自太阳辐射外，人工热源则占重要地位。天津的能源消耗以煤为主，约占整个能源消耗的92%多，全市有几千个工矿企业厂（点），均分布在建城区内。据统计，天津的能源利用率较低，一般能源利用率只达30%左右，尚余近70%的热量都直接或间接逸散到近地层大气中了，这就必然造成一些能源消耗大的工厂企业，工业区和人口密集区的地表辐射温度和空气温度升高。据1977年在天津钢厂观测，该厂近地层气温一般比气象台高2~3°C。我们根据天津市区耗煤量分布，以7000千卡/公斤计算，绘制了两幅全市热源强度分布图3a和图3b，从图可看出：非采暖期热源

强度普遍偏低，只有白庙工业区，一发电厂，北站外工业区，自行车厂、炼钢厂和土城工业区，耗能高热源强度大些。而采暖期的热源强度普遍偏高，其中以一发电厂，白庙，北站外、郑庄子、土城、陈塘庄、西营门等工业区的热源强度为最高，人口密集的市中心也偏高。设有燃煤或耗煤较少的地方，如水域、公园等处的热源强则较低。

全市约有3000多个厂（点）热源，分布在市内160平方公里的面积上，每年约平均燃烧500多万吨煤，占全市总燃煤量的57.05%。其中采暖季每月燃烧64.5万吨，非采暖季每月35.9万吨。若不计燃烧石油、天然气所产生的热量，只算煤所产生的热量，除一部分转换成机械能、电能外，尚有大部分热量直接释放到最低层空气中，冬秋两季尤为突出。据计算燃烧所放出的热量，采暖季1.223千卡/厘米²月，非采暖季0.68千卡/厘米²月。而天津市1980年的太阳总辐射值，采暖季为6.85千卡/厘米²月，非采暖季约为9.82千卡/厘米²月。可见市区耗煤所产生的热量在采暖季相当于太阳总辐射的 $\frac{1}{5}$

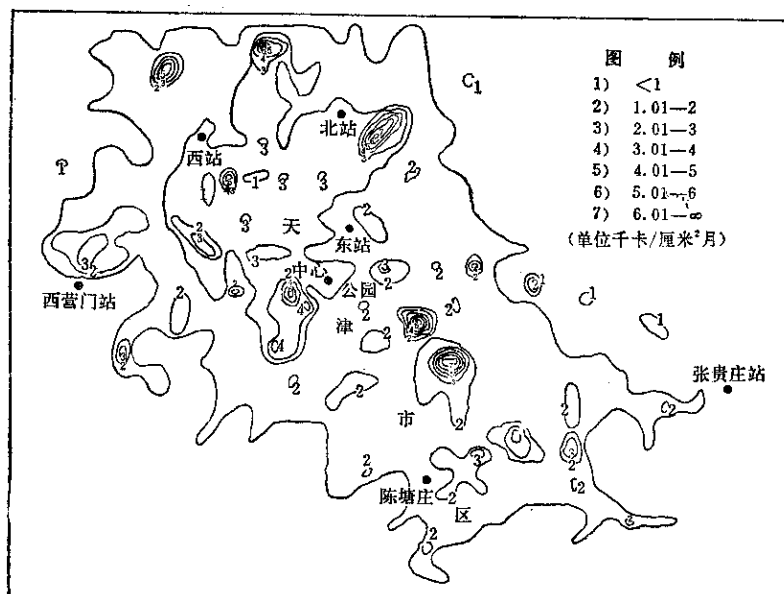


图 3a 天津市非采暖期热源强度(千卡/厘米²月)分布图

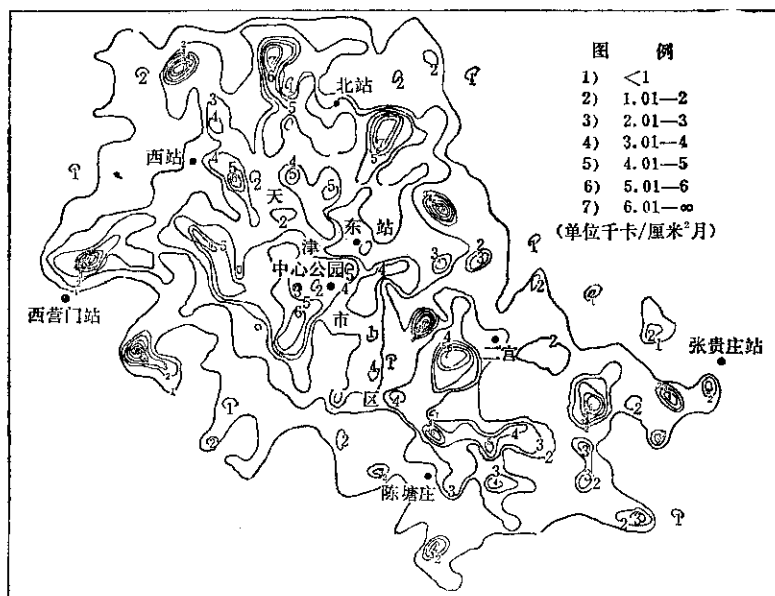


图 3b 天津市采暖期热源强度(千卡/厘米²月)分布图

非采暖季相当于太阳总辐射的1/8, 所以人工热占热岛形成的重要地位。

另外, 能源消耗高的地方, 输送到附近下垫面的热量也多, 该处的地面辐射温度也会高, 二者有很大的一致性。为了证明这种关系, 根据1980年9月6日17:07—18:34的遥感热图象, 与能源消耗进行相关分析, 结果得出煤耗量和辐射温度有较好的线性关系。所以煤耗量对下垫面辐射温度影响很大。

2. 城市人口密度与城市热岛

城市规模的大小影响了城市热岛的强弱。而城市人口密集则是城市社会环境因素中的主要一环, 是影响城市生态平衡、增强城市热岛的重要因素。根据天津市夜间人口的统计, 密度基本上采用净密度, 分十级, 最小的是小于400人/公顷, 最大的是大于2000人/公顷, 中间按200人进级。根据1980年5月10日夜间的红外遥感热图象的温度场分布(见图4), 与人口密度等级图(图5)比较, 分析结果表明: 人口密度大的地方则近地面辐射温度高, 反之亦然, 它们呈正相关。这说明人口过密的居民区是城市热

岛增强的重要因素之一。

根据Oke(1972)的经验公式 $\Delta T = P^{\frac{1}{4}} / 4\bar{u}^{\frac{1}{2}}$ 式中 ΔT 为市内外气温差, P 为城市人口, \bar{u} 为郊外平均风速, 按照天津市区为400万人, 在小风的天气条件, 平均风速取1米/秒, 计算结果得出 $\Delta T=1.2^{\circ}\text{C}$, 这与本市弱热岛日的 $\Delta T(^{\circ}\text{C})$ 很接近。但小于红外遥感所测的城乡地面辐射温差 $\Delta T(^{\circ}\text{C})$ 。总之, 可看出大城市中的人口愈密, 则热岛强度有愈强的趋势, 与地面辐射温度呈正相关。

(三) 严重的大气污染与城市热岛

天津市区大气污染严重, 城市上空常存在大量的烟雾, 飘尘和气体污染物, 容易形成浓雾^[6](水雾)。它们夜间将减少地而有效辐射, 使地面降温减缓。但白天存在着大量的气溶胶粒子又会减弱太阳辐射而降低气温。在天津市区曾观测到(见图6)气溶胶半径为0.001~0.1微米的近地面浓度为7922~19227个/厘米³; 半径为0.1~20微米在低空多为10000个/升。它们的浓度平均值均随高度增加而减少。其分布状况呈现一种

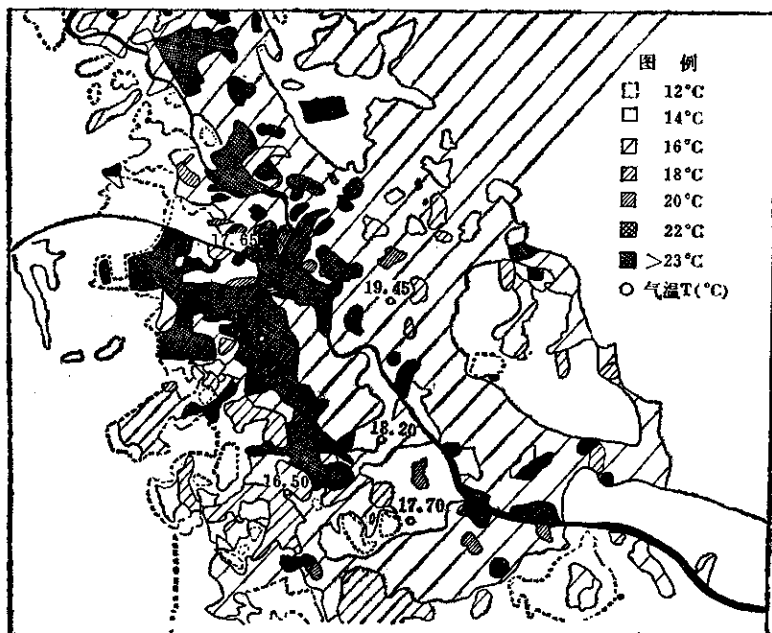


图 4 1980年5月10日03~04, 红外遥感市区下垫面辐射温度场

较好的指数特征, 其分布函数^[7]形式是:

$$N = N_0 e^{-H/\alpha}$$

式中 N 是高度 H 处的气溶胶浓度, N_0 是地面气溶胶浓度 (个/厘米³), α 为经验系数。

从图 6 的分布状况来看, 天津市近地面浓度值约比郊区大一个量级。可以认为, 气溶胶有90%是由工业污染产生, 气溶胶的存在, 增加了对太阳辐射的反射, 散射和吸收, 并减低了大气透明度。在微风、晴天无云, 大气稳定的秋、冬季节, 在远离市区20~30公里的郊区, 经常可观测到天津市上空在日出后和日落前为浓浓的烟雾所笼罩。市区的能见度明显减少, 太阳直接辐射减弱, 降低地面温度, 削弱了热岛强度。而夜间减少有效辐射又增强了热岛强度。到底那个因子起主要作用, 尚待研究。

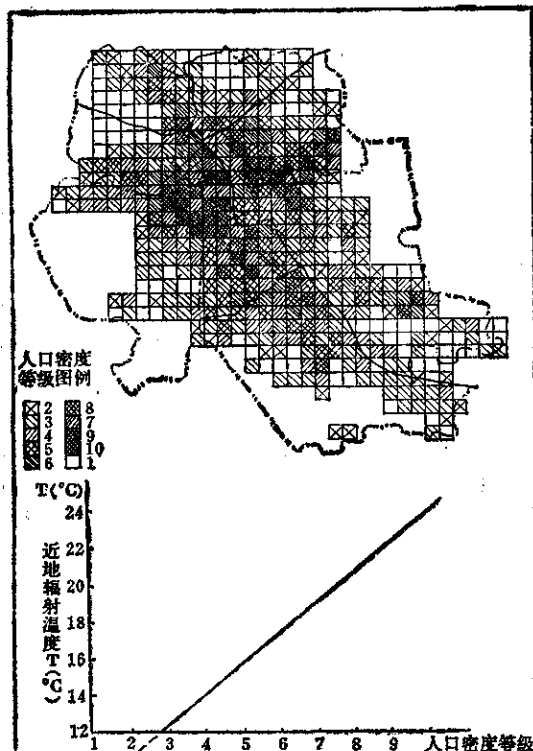


图 5 天津市区人口密度等级与下垫面辐射温度的关系

二、天津“城市热岛” 的温度特征

(一) 市郊区温度场的分布

从图 7 可知: 累年平均气温市区比郊区

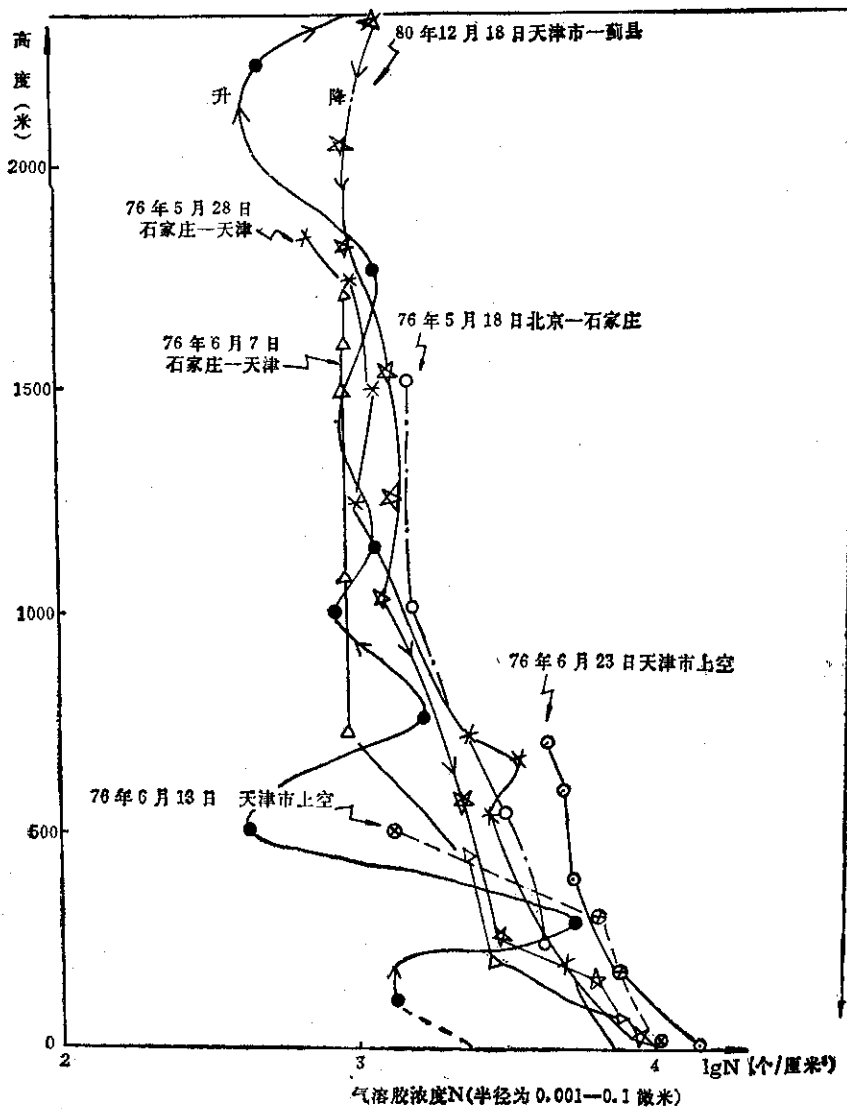


图 6 京、津、石地区气溶胶浓度随高度增加而减少的分布状况（半径为 $0.001\text{--}0.1\mu\text{m}$ ）

高 0.7°C ，累年平均最低气温市区比郊区高 0.7°C ；而1980年冬季的晚上的气温，市区比郊区高 1.7°C 。所以从长年平均气温看热岛强度都是很明显的。从温度场分布来看热岛的形状、走向和位置，都与建成区是一致的。

（二）城市热岛强度的季节和日变化

不少学者认为：秋、冬季城乡温差一般较大，春季夏季较弱。我们根据20年的地面气温资料统计结果，市区热岛强度 $\Delta T(^{\circ}\text{C})$

冬、秋季较强，夏季次之，春季最弱（见图8 a）。它们的强度分别为 2.1°C 、 1.8°C 、 1.5°C 、 0.8°C 。

热岛强度的日变化，由图8 b可知：春、秋、冬季相似，强度为 $1\text{--}1.5^{\circ}\text{C}$ 。春秋、冬季都有两个峰值，春秋两季出现在日出前和夜间，而冬季则出现在日出和日落之后，冬季的热岛强度最强。由于冬季取暖，人工释放的热量明显超过其它季节，可见热岛强度的强弱有明显的时间性^[8]。日落后

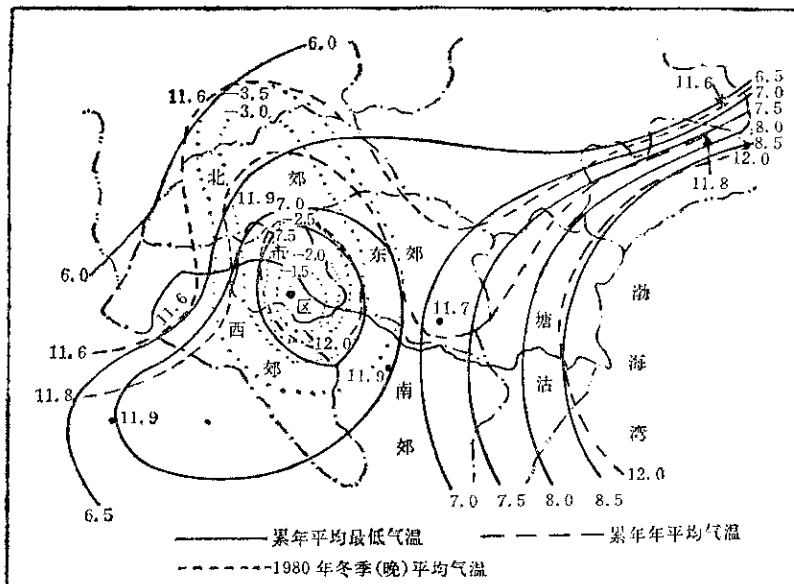


图 7 市郊区累年平均气温度和1980年冬季晚上的气温水平分布

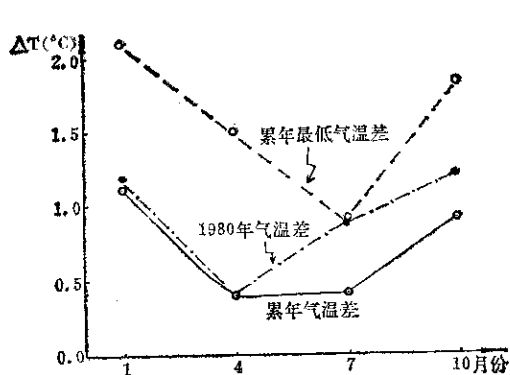


图 8a 天津市区累年热岛强度的季节变化

由于城乡长波辐射差异^[9]和城区人工释放的热，使强度明显增大，以后逐渐平稳下来，直到日出前后才明显减弱。而中午城市热岛不但完全消失，反而有时市区比郊区的气温还要低0.2~0.4°C。唯有夏季热岛强度最弱，只有一个峰值，多出现在20时。

(三) 从红外遥感热图象探讨“城市热岛”特征

凭红外遥感热图象可直观地、形象地研究下垫面热环境，感知下垫面热信息所形成的热力分布和热力景观结构，可展示出整个市区有若干个大小不同，强弱不同的热岛群，构成一个大的“城市热岛”。发电一

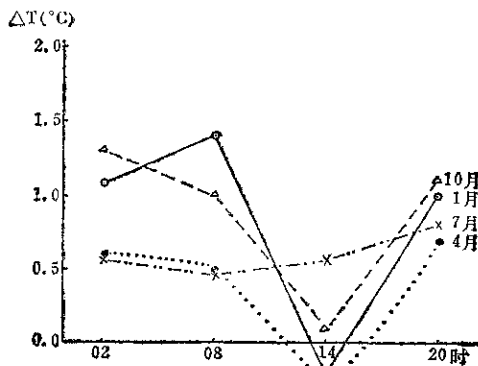


图 8b 天津市区热岛强度1979~1981年的平均日变化

厂、天津钢厂等大的热源地，都明显地是一些热岛。例如：1980年9月6日17:04~18:34、5月10日03~04和12月16日的下垫面辐射温度场（见图1，图4），都分别含有20个、55个和10个热岛，它们的强度又分别约为3°C、4~6°C和3~4°C。这就是由遥感技术所探讨的“城市热岛”的显著特征。

总之，天津“城市热岛”强度的特征是：城乡累年平均气温差是1~2°C，有时可达3~5°C，但并无明显增加趋势；遥感城乡下垫面辐射温度一般为10°C左右；热岛冬、秋季较强，夏季弱，多出现在夜间，其厚度多为250米上下的等特征。

参 考 文 献

- [1] Сонькия П. Р., ТР. ГГО (436) 49~54 (1979).
- [2] М. Е. Берлянд, М. Н. Зашихин, МЕТЕОР. ИГИДР, (2), 5~16(1982).
- [3] 河村武, 气象研究ノート, (133) 48~58 (1977).
- [4] 河村武, 气象研究ノート, (133)26~47(1977)。

- [5] O.G. 萨顿著、徐尔瀛、吴和庚译, 微气象学 217~258高等教育出版社, 1959。
- [6] 孙奕敏, 气象(7)29~31气象出版社(1981)。
- [7] 格拉波夫斯 P.N.著, 周梦麟译, 大气凝结核, 45~74, 科学出版社, 1959。
- [8] 周明煜等, 环境科学 1(5), 12~18(1980)。
- [9] Биненко В.И. ТР. ГГО, (415) 8~13 (1979)。